



2018 © Congrès National de Médecine et Santé au Travail, Tous droits réservés - Toute reproduction même

# PHS: nouveaux visages, nouveaux concepts



JC Dalphin  
CHRU Besançon  
UMR CNRS Chrono-Environnement  
CMST 2018, Marseille.



2018 © Congrès National de Médecine et Santé au Travail, Tous droits réservés - Toute reproduction même

- Actualités étiologiques
- Classification et évolution
- Formes chroniques
- Diagnostic immunologique

# Hypersensitivity Pneumonitis (HP) Study

Lacasse et al. Am J Respir Crit Care Med 2003;168:952-958

Lacasse et al. Int Arch Allergy Immunol 2009;149:161-166

## Objectifs

- ✓ Identifier des critères diagnostiques simples et développer une règle de prédition clinique
- ✓ Actualiser la classification « de référence » en 3 formes

## Méthodes

- ✓ Etude prospective multicentrique internationale
- ✓ Patients consécutifs porteurs d'une PID
- ✓ Diagnostic de PHS : TDM et LBA +/- procédures invasives
- ✓ Critères "simples" : interrogatoire, examen physique, biologie, précipitines, RxP, EFR+KCO

661 patients inclus (199 PHS)

# Critères prédictifs significatifs de PHS

Lacasse et al. Am J Respir Crit Care Med 2003;168:952-958

Critères	Odds ratio	IC à 95%
<b>Exposition à un antigène connu pour être pathogène</b>	<b>38,8</b>	<b>11,6-129,6</b>
Survenue des symptômes 4-8 heures après l'exposition	7,2	1,8-28,6
Présence d'anticorps précipitants	5,3	2,7-10,4
Crépitants inspiratoires	4,5	1,8-11,7
Symptômes récidivants	3,3	1,5-7,5
Perte de poids	2,0	1,0-3,9

# PHS aux moisissures



2018 © Congrès National de Médecine et Santé au Travail, Tous droits réservés - Toute reproduction même partielle et toute utilisation sans l'autorisation écrite de l'organisateur sont formellement interdites.

2018 © Congrès National de Médecine et Santé au Travail, Tous droits réservés - Toute reproduction même partielle et toute utilisation sans l'autorisation écrite de l'organisateur sont formellement interdites.

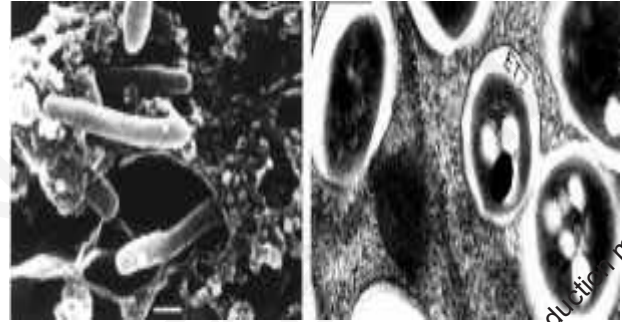


2018 © Congrès National de Médecine et Santé au Travail, Tous droits réservés - Toute reproduction même partielle et sous quelque forme que ce soit est interdite.

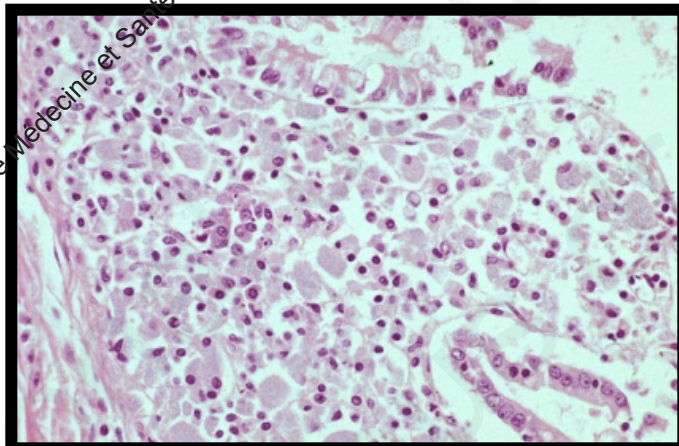
2018 © Congrès National de Médecine et Santé au Travail, Tous droits réservés - Toute reproduction même partielle et sous quelque forme que ce soit est interdite.

# Poumon des jacuzzis

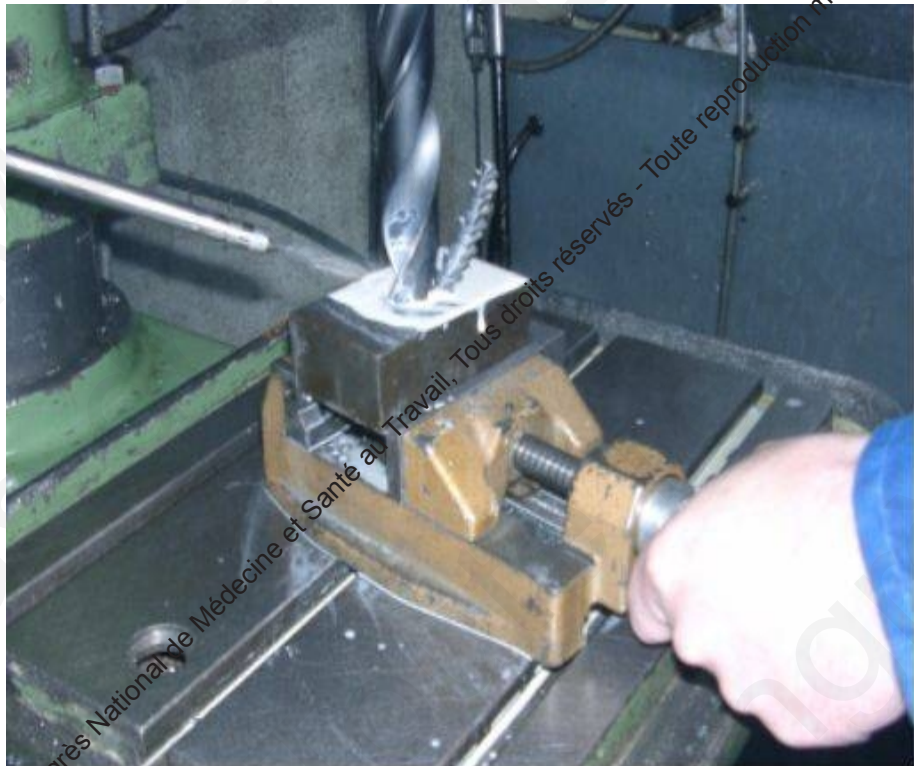
## « Hot tub lung »



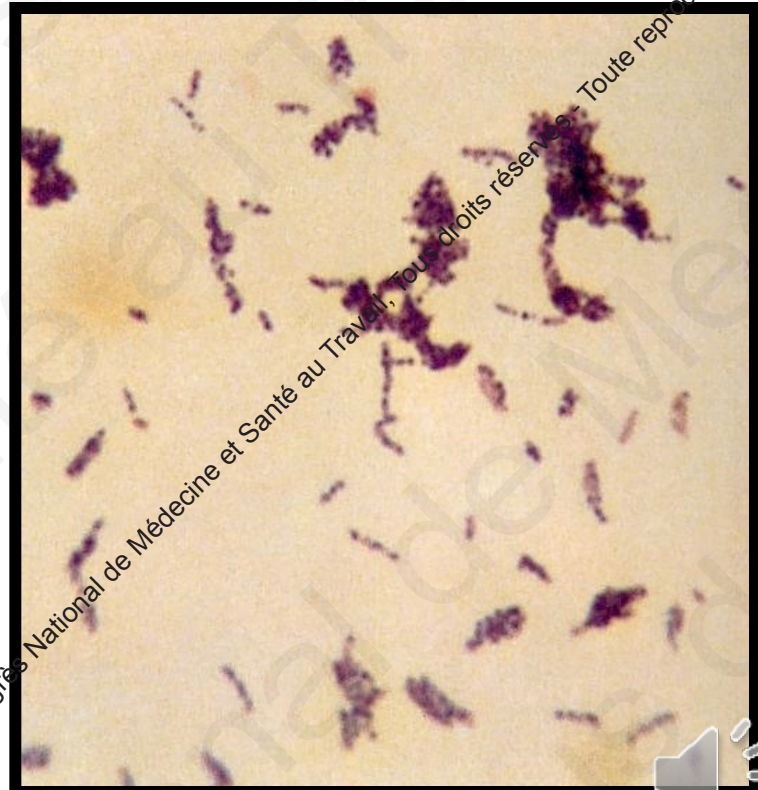
***Mycobacterium  
avium  
intracellulare***



# Poumon des mécaniciens



*Mycobacterium  
immunogenum*



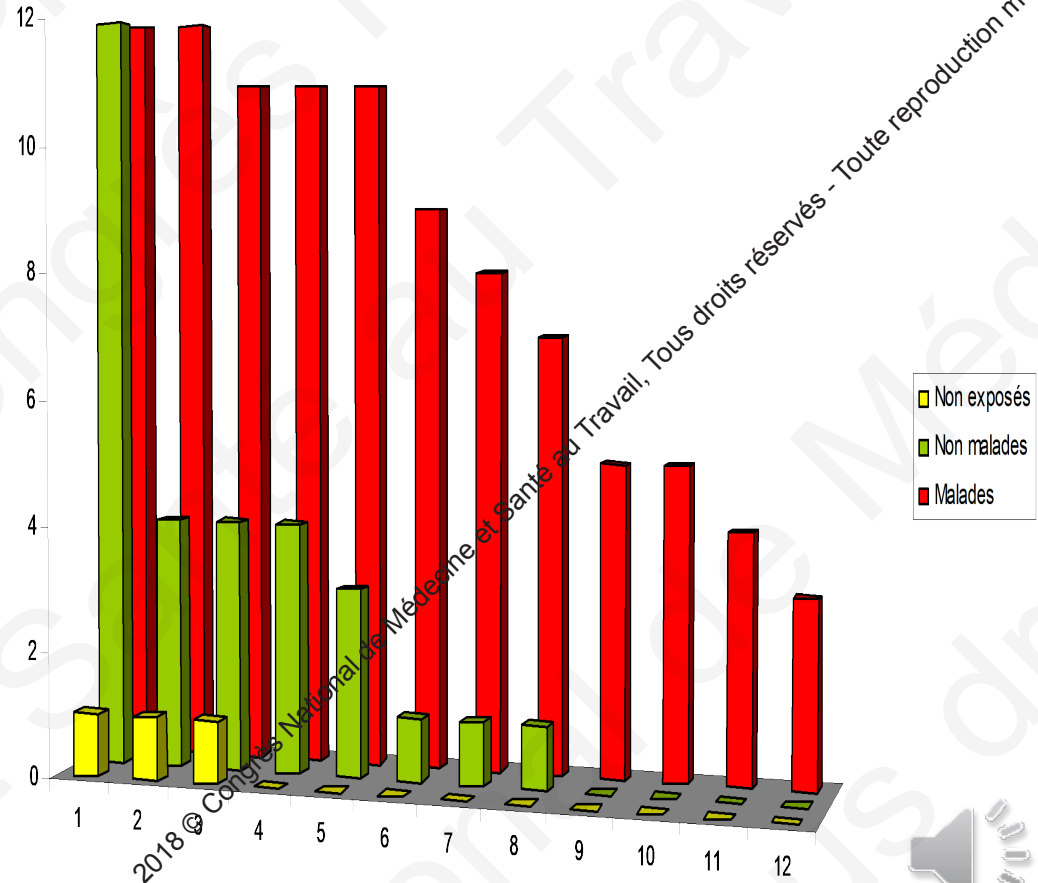
# Poumons des mécaniciens

## Etude sérologique complémentaire

Tillie-Leblond I et al. Eur Respir J 2011;37:640-7



**Electrosynthèse sur  
acétate de cellulose**





www.shutterstock.com · 1685621



2018 © Congrès National de Médecine et Santé au Travail, Tous droits réservés - Toute reproduction même pa



Vincent Cottin  
Jean-François Cordier  
Luca Richeldi  
*Editors*

# Orphan Lung Diseases

A Clinical Guide  
to Rare Lung Disease

 Springer

2018 © Congrès National de Médecine et Santé au Travail, Tous droits réservés - Toute reproduction même partielle et toute forme de stockage dans un système d'information sont formellement interdites.

# Orphalung

GERM'O'P

REFERENCES PRATIQUES ACTUELLES (2009)

CAUSES DES PNEUMOPATHIES  
D'HYPERSENSIBILITÉ (PHS) D'ORIGINE  
ENVIRONNEMENTALE  
(A L'EXCLUSION DES PHS IATROGENIQUES)

**Table 29.5** (continued)

Diseases	Sources	Antigens
Machine operator's lung	Aerosolised metalworking fluid	<i>Mycobacterium immunogenum</i> <i>Mycobacterium cheliae</i> <i>Pseudomonas fluorescens</i>
Fruit and legume worker's lung	Molds in a cold storage house for fruit	Micromycetes
HP to <i>Aspergillus oryzae</i>	Biological detergent for cutaneous sores	<i>Aspergillus oryzae</i> antigens
HP to <i>Ustilago esculenta</i>	Sprinkling of smut spores on lacquered wares to produce a rusty colour in Japanese handicrafts	<i>Ustilago esculenta</i>
<b>(b) Hypersensitivity pneumonitis due to animal proteins</b>		
Bird breeder's or fancier's lung of unusual causes (other than classical HP due to pigeons, doves, budgerigars, parrots, canaries, love birds, ducks, geese, turkeys, etc.)	Pheasants Wild birds Birds of prey Owls (ringing for example) Artificial flies for fishing (made with feathers or down) Pillows, quilts, comforters...containing feathers or duvet Bats (in grottos or caves)	Avian droppings, bat droppings, feathers, serum proteins...
Tanner's lung	Animal fur? Cat hair?	Proteins in animal fur? Cat hair
Pituitary snuff taker's lung	Pituitary snuff	Bovine and porcine proteins
Animal handler's lung	Rats, gerbils...	Urine, serum, proteins...
Sericulturist's lung	Silk production	Silkworm antigens
<b>(c) Hypersensitivity pneumonitis due to chemical products</b>		
Chemical worker's lung	Polyurethane foam production Paint, lake, varnish production Paint quality control Car body repair shop Molding in foundries Plastic industry Small-scale production of airbags Agnate industry (extraction from seaweed) Manufacturing of penicillin (pharmaceutical companies) Manufacturing of pyrethroid insecticides	Isocyanates TDI MDI HDI IPDI BIC TGIC Epoxidic resins Alginic acid Penicillin Pyrethrins
Dental technician HP	Dental technician trainees	Methyl methacrylate
Yacht-maker's lung	Manufacturing of fibreglass yachts	Diethylphthalate
<b>(d) Hypersensitivity pneumonitis due to undetermined substances</b>		
Coffee worker's lung	Coffee beans, green beans, coffee dust	Vegetals? Molds?
Tea worker's lung	Tea dust	Tea antigens, Molds
Inhalation of green tea leaves (for a sinusitis)	Tea?	Konjak flour? <i>Hijikia fusiforme</i> ?
Konnyaku manufacturer lung	Konnyaku paste (food paste used in Asia); "Jelly-like food"	<i>Stipa tenacissima</i> ? <i>Sacharopolyspora rectivirgula</i> ? <i>Thermoactinomyces vulgaris</i> ?
Plasterer's lung (sometimes called Stipatosis or Espartosis). Described in Spain	Esparto grass is used in manufacturing plaster, ropes, hemp sandals, rush mats, parkets...	<i>Bacillus subtilis</i> ? Soybean antigen? Plant antigen? Micromycetes?
Detergent worker's disease	Detergent, cleaning powder	Not determinated
Soybean HP	Animal food	Micromycetes?
Tiger nut worker's lung	Tiger nut dust	
Leaf HP	Moldy hazelnut leaves	
Entomologist's lung	Museum	

# Classification de Richerson

Classification	Description clinique
<b>PHS aiguë</b>	<ul style="list-style-type: none"><li>■ Les symptômes débutent de 2 à 9 heures après l'exposition, sont maximum au cours des 24 premières heures, et durent de quelques heures à quelques jours</li><li>■ Les symptômes pseudo-grippaux prédominent souvent : frissons, fièvre, sueurs, myalgies, fatigue (lassitude), maux de tête et nausée</li><li>■ Les symptômes respiratoires tels que toux et dyspnée sont communs mais pas obligatoires</li></ul>
<b>PHS subaiguë</b>	<ul style="list-style-type: none"><li>■ Peut apparaître progressivement en quelques jours ou semaines</li><li>■ Dominée par toux et dyspnée, et peut progresser vers une dyspnée sévère avec cyanose qui conduit à l'hospitalisation</li></ul>
<b>PHS chronique</b>	<ul style="list-style-type: none"><li>■ Survenue insidieuse sur une période de quelques mois</li><li>■ Toux et dyspnée d'effort progressivement croissantes</li><li>■ Fatigue et amaigrissement peuvent prédominer</li></ul>

# Hypersensitivity Pneumonitis (HP) Study

Lacasse et al. Am J Respir Crit Care Med 2003;168:952-958

Lacasse et al. Int Arch Allergy Immunol 2009;149:161-166

## Objectifs

- Identifier des critères diagnostiques simples et développer une règle de prédition clinique
- Actualiser la classification « de référence » en 3 formes

## Méthodes

- Etude prospective multicentrique internationale
- Patients consécutifs porteurs d'une PID
- Diagnostic de PHS : TDM et LBA +/- procédures invasives
- Critères "simples" : interrogatoire, examen physique, biologie, précipitines, RxP, EFR+KCO

**661 patients inclus (199 PHS dont)**

# Profils étiologiques des patients inclus dans l'étude

- 199 patients atteints de PHS actives, **168 inclus pour l'analyse**

✓ Poumon des éleveurs d'oiseaux :	113
✓ Poumon de fermier :	35
✓ PHS liées aux moisissures :	18
✓ PHS d'étiologies inconnues :	2

# Paramètres étudiés

**Table 2. Variables included in the cluster analysis**

<b>Domain</b>	<b>Variables</b>
<b>Clinical symptoms / history</b>	Gender, smoking status, wheezing, cough, tightness of chest, chills, body aches, weight loss, recurrent symptoms after exposure
<b>Physical signs</b>	Fever, cyanosis, clubbing, inspiratory crackles, wheezing
<b>Bloodwork</b>	Positive serum precipitins, antinuclear antibodies, $\text{pO}_2$
<b>Pulmonary function tests*</b>	FEV1 % predicted, FEV1/FVC, FEF 25-75%, DLCO % predicted
<b>Chest X-ray</b>	Site of abnormalities (normal chest X-ray vs. upper zone predominance vs. lower zone predominance vs. diffuse infiltrates)
<b>High-resolution computed tomography</b>	Ground-glass infiltrates, nodular opacities, fibrosis
<b>Bronchoalveolar lavage</b>	Lymphocyte count (%)

\* FEV1% : forced expiratory volume in 1 second, % predicted value ; FVC : forced vital capacity ; FEF25-75% : forced expiratory flow, % predicted value, DLCO%: carbon monoxide diffusion lung capacity, % predicted value.

# Identification de 2 présentations distinctes

## ■ Forme (cluster) 1, n = 41 :

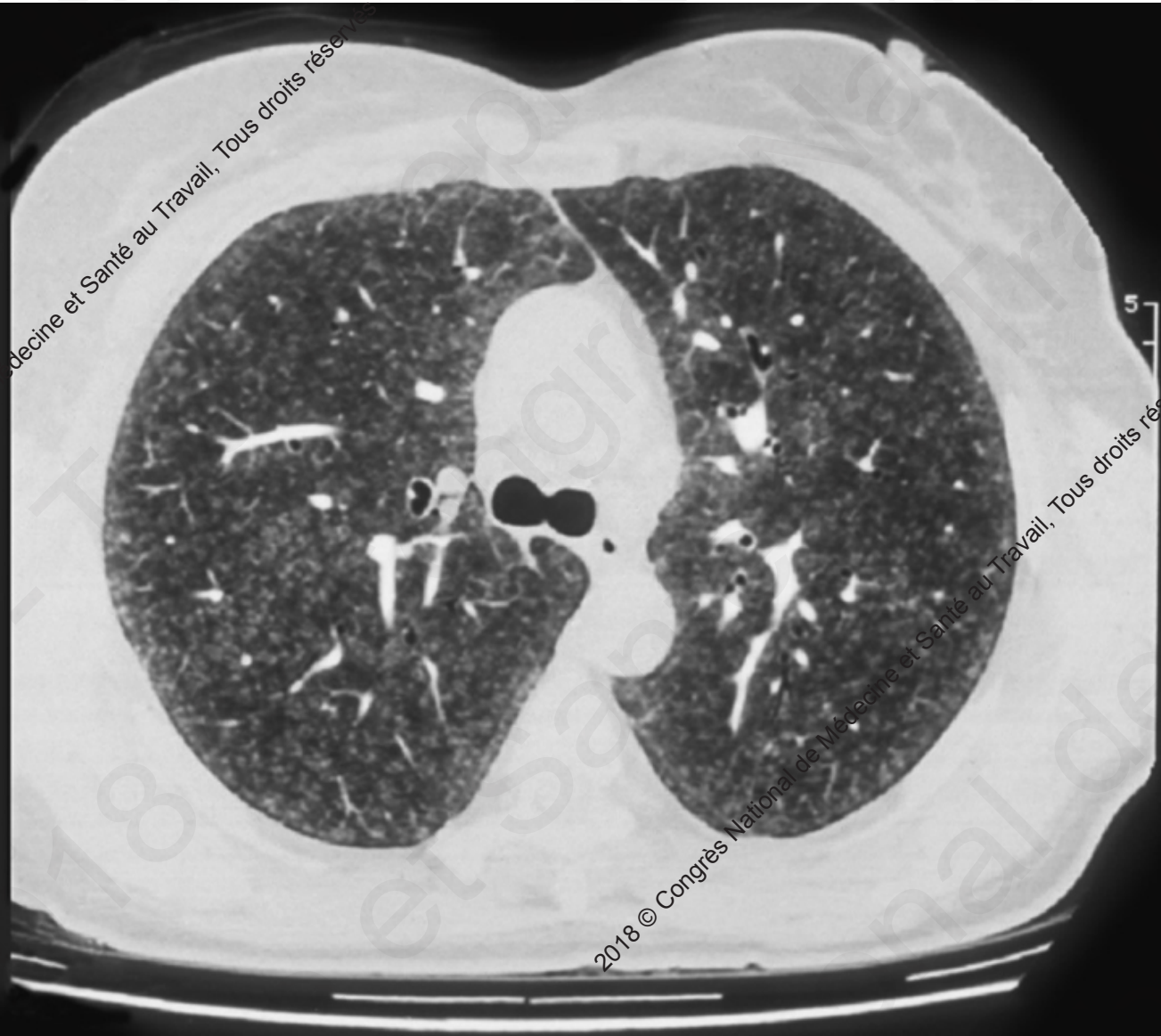
- Etiologie microbienne
- Symptômes semi-retardés récidivants
- Symptômes de type pseudo-grippal
- Radiographie pulmonaire fréquemment normale (30%), peu de fibrose
- Fonction respiratoire peu altérée

## Forme (cluster) 2, n = 127 : formes chroniques

- Etiologie aviaire
- Crépitants, hippocratisme digital
- Trouble ventilatoire restrictif
- Altération du KCO, hypoxie, **fibrose fréquente**

\* P < 10<sup>-4</sup>

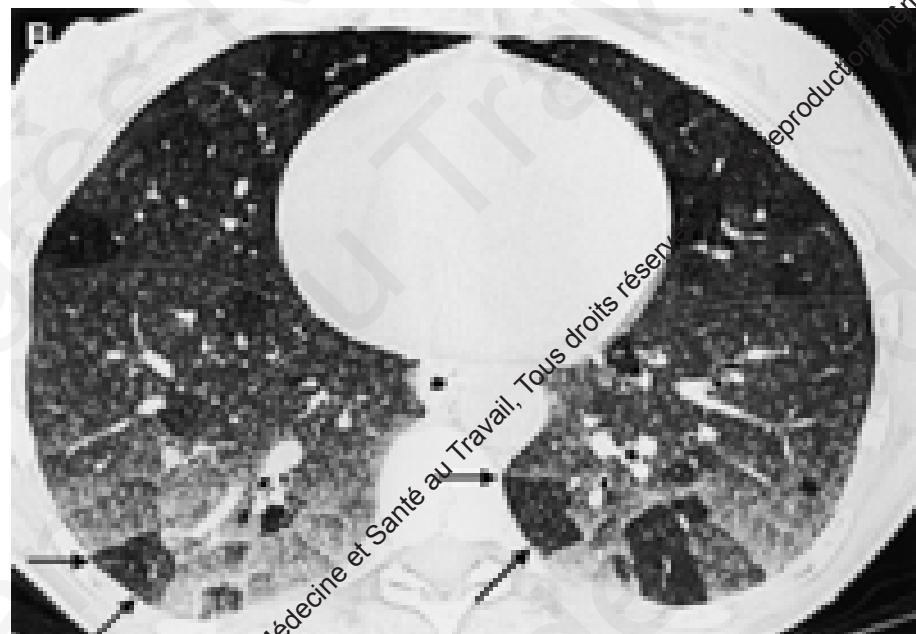
# Forme « type1 » de poumon de fermier



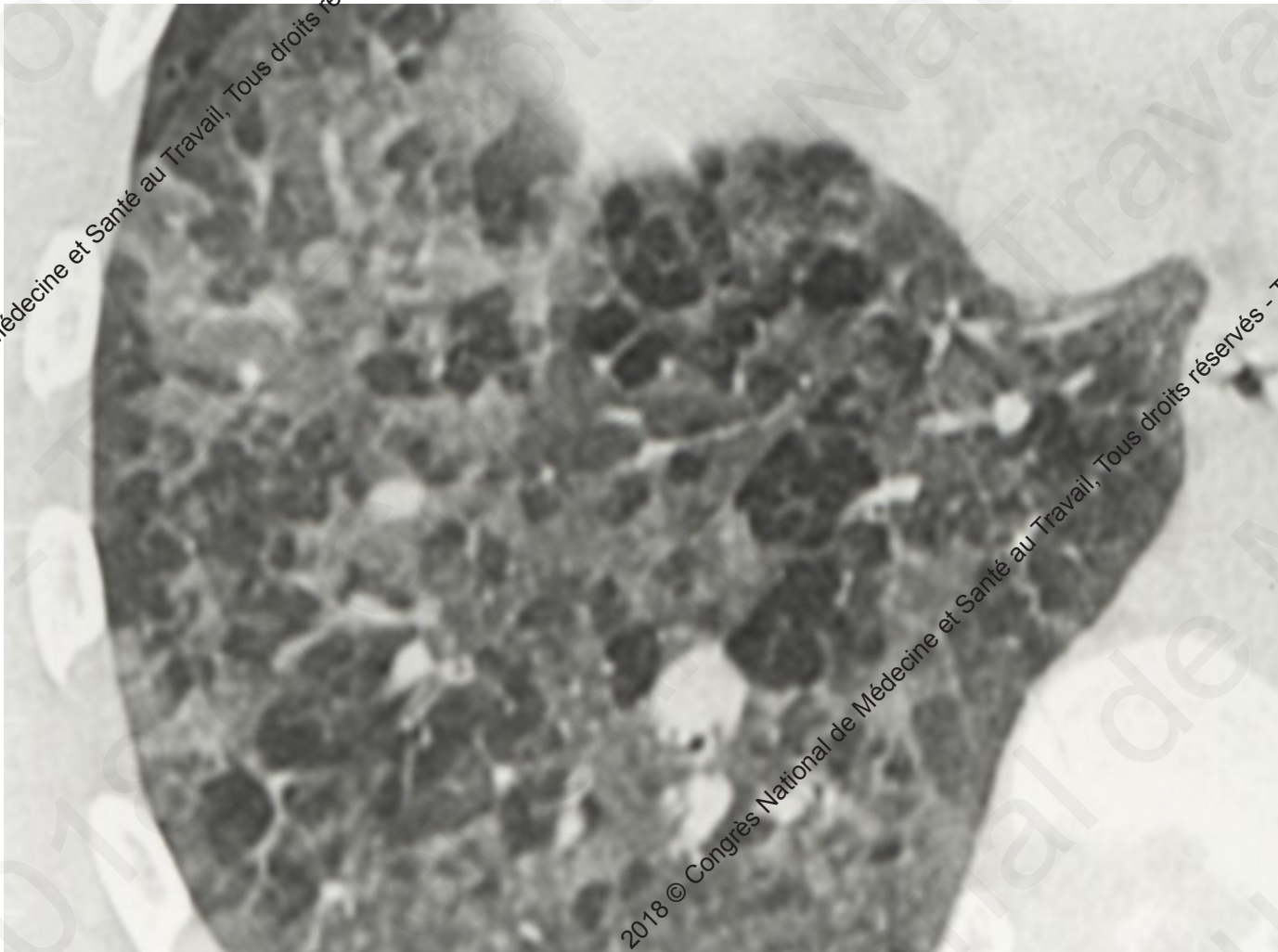
2018 © Congrès National de Médecine et Santé au Travail, Tous droits réservés - Toute reproduction même partielle et/ou intégrale interdite.

2018 © Congrès National de Médecine et Santé au Travail, Tous droits réservés - Toute reproduction même partielle et/ou intégrale interdite.

# Forme « subaiguë » de poumon des éleveurs d'oiseaux (type 1)



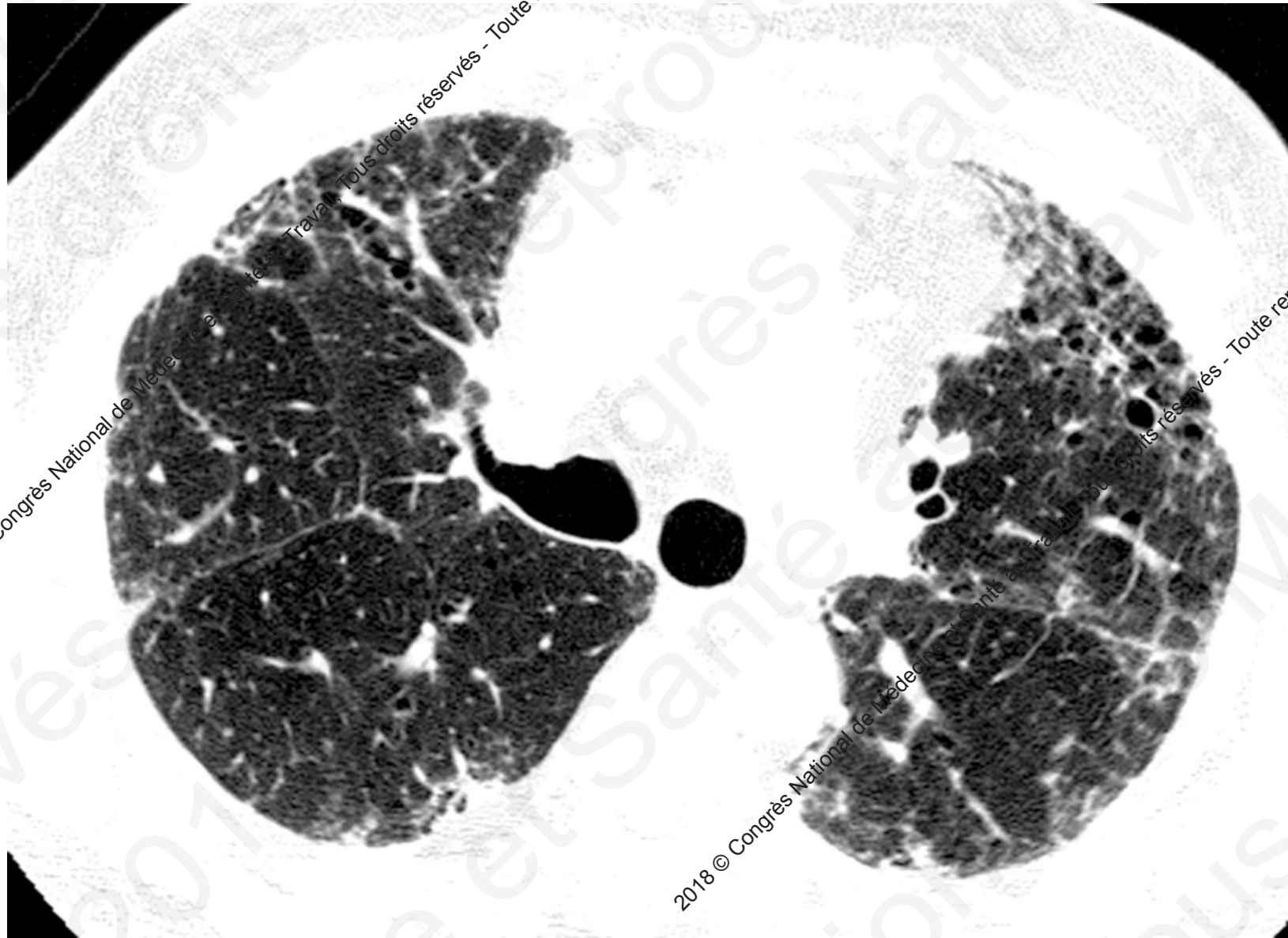
# Forme « type 1 » de poumon de la sciure de bois



2018 © Congrès National de Médecine et Santé au Travail, Tous droits réservés - Toute reproduction même partielle et non autorisée est formellement interdite.

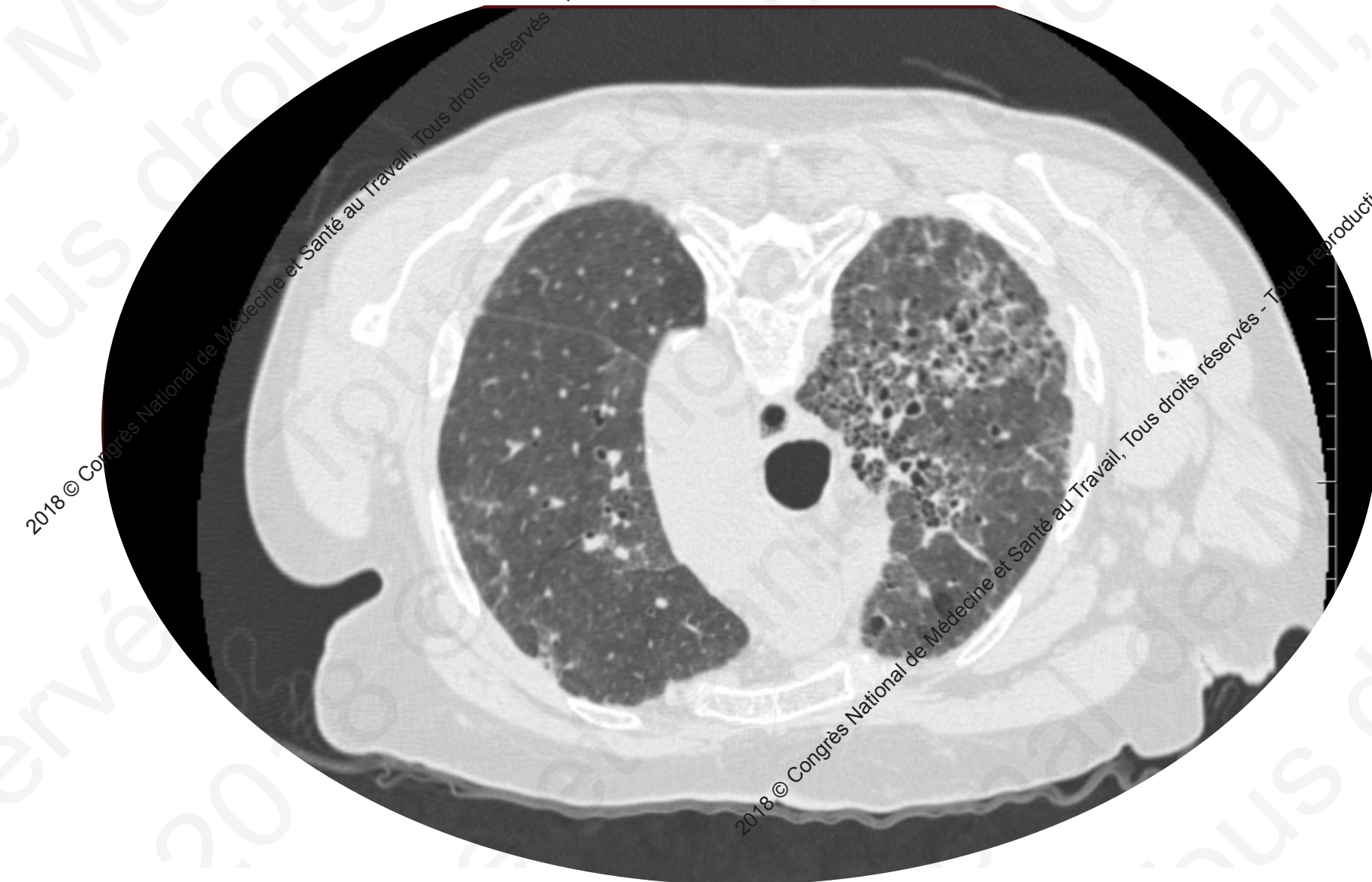
2018 © Congrès National de Médecine et Santé au Travail, Tous droits réservés - Toute reproduction même partielle et non autorisée est formellement interdite.

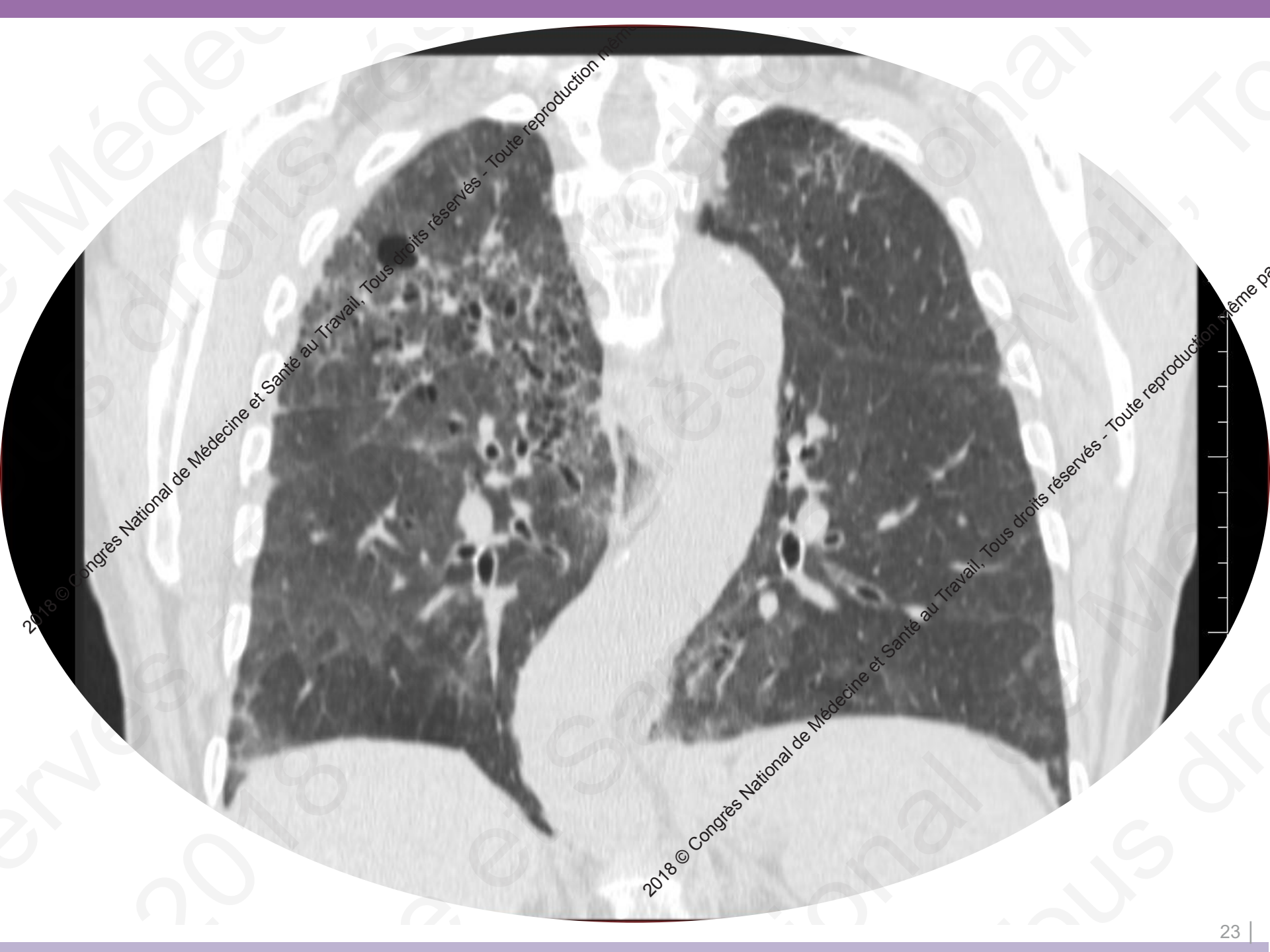
# Poumon des éleveurs d'oiseaux (type 2)



# Exposition agricole mixte (type2...)

Toute reproduction même  
partielle interdite





2018 © Congrès National de Médecine et Santé au Travail, Tous droits réservés - Toute reproduction même partielle interdite.

2018 © Congrès National de Médecine et Santé au Travail, Tous droits réservés - Toute reproduction même partielle interdite.



2018 © Congrès National de Médecine et Santé au Travail, Tous droits réservés - Toute reproduction même partielle interdite.

2018 © Congrès National de Médecine et Santé au Travail, Tous droits réservés - Toute reproduction même partielle interdite.

# Occupational hypersensitivity pneumonitis: an EAACI position paper

Characteristics	Acute/subacute OHP	Chronic OHP
Exposure to causal antigen at work	Intermittent high-level exposure (e.g. farmers)	Continuous low-level exposure (e.g. bird breeders)
Onset of symptoms	2–9 h after exposure; may evolve to gradually increasing symptoms over days to weeks	Insidious, over weeks to months
Nature of symptoms	Cough and dyspnea, but predominantly influenza-like symptoms	Progressive symptoms (dyspnea, cough, and weight loss), sometimes punctuated by intermittent attacks of symptoms or slowly increasing
Physical signs	Fever	Inspiratory crackles; cyanosis; digital clubbing; cor pulmonale
Outcome	Symptoms peak within 6–24 h after exposure; last hours to days; and recur on re-exposure; may progress to severe dyspnea	End-stage fibrotic disease and/or emphysema; exacerbations may occur despite avoidance of exposure

**Erkinjuntti-Pekkanen et al.**  
**Long-term risk of emphysema**  
**in patients with farmer's lung**  
**and matched control farmers.**  
**Am J Respir Crit Care Med**  
**1998;158:662-665**

EMPHYSEMA, FIBROSIS, AND MILIARY SCORES OF FL PATIENTS AND CONTROL FARMERS BASED ON HRCT FINDINGS				
	FL Patients (n = 88)		Control Farmers (n = 83)	
	n	(%)	n	(%)
Emphysema score*				
0	59	(67)	68	(82)
1-4	9	(10)	9	(11)
5-9	16	(18)	2	(2)
≥ 10	4	(5)	4	(5)
Fibrosis score†				
0	57	(65)	62	(75)
1-4	16	(18)	13	(15)
5-9	10	(11)	5	(6)
≥ 10	5	(6)	3	(4)
Miliary score‡				
0	75	(85)	76	(92)
1-4	3	(3)	4	(5)
5-9	5	(6)	1	(1)
≥ 10	5	(6)	2	(2)

**Cormier et al. High-resolution computed tomographic characteristics in acute farmer's lung and in its follow-up. Eur Respir J 2000;16:56-60**

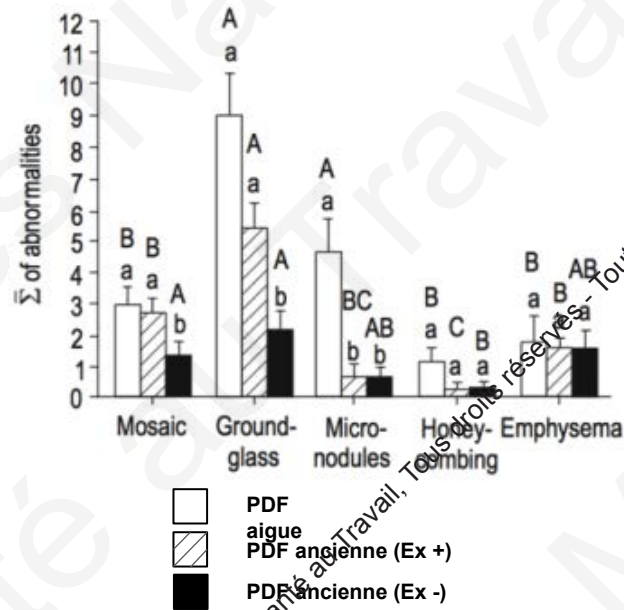


Table 1. – Relationship between smoking and emphysema

	Emphysema		
	No	Yes	Total
Smoking history			
Ex	9	13	22
None	54	17	71
Current	1	1	2
Total	64	31	95

Note that although smoking was associated with the presence of emphysema ( $p=0.009$ , Fisher's exact test) the majority of subjects with emphysema had never smoked.



Disponible en ligne sur  
ScienceDirect  
[www.sciencedirect.com](http://www.sciencedirect.com)

Elsevier Masson France  
EM|consulte  
[www.em-consulte.com](http://www.em-consulte.com)



## CAS CLINIQUE

# Forme emphysématueuse de la maladie du poumon de fermier

Chronic Farmer's lung disease with emphysema



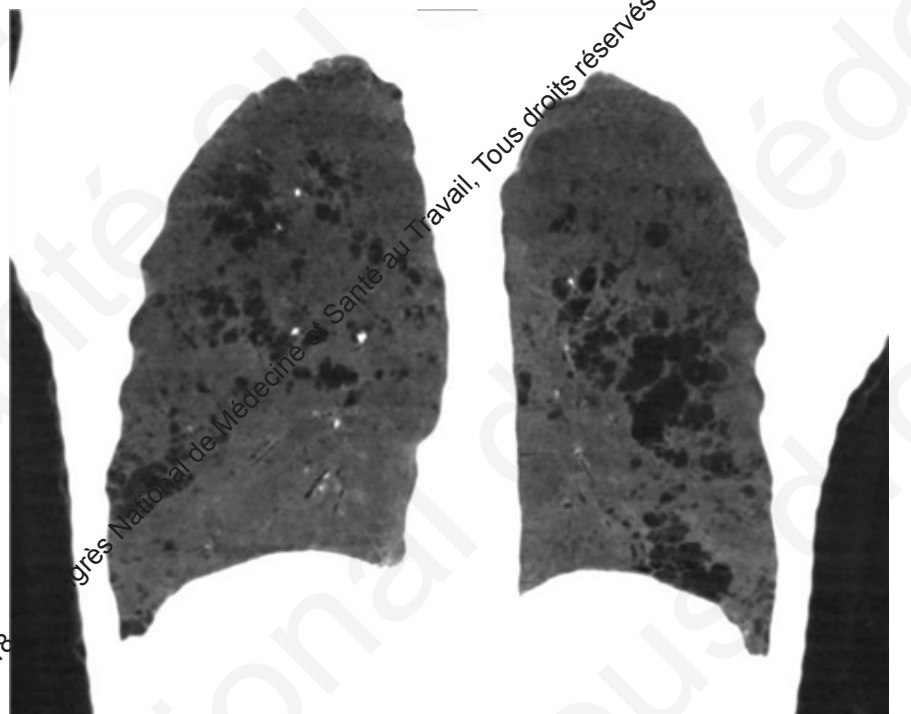
T. Soumagne<sup>a,\*</sup>, B. Degano<sup>b</sup>, J.C. Dolphin<sup>a</sup>

<sup>a</sup> Service de pneumologie, hôpital Jean-Minjoz, 2, boulevard Fleming, 25030 Besançon cedex, France

<sup>b</sup> Service d'explorations fonctionnelles de la respiration, de l'exercice et de la dyspnée, hôpital Jean-Minjoz, 2, boulevard Fleming, 25030 Besançon cedex, France

Reçu le 22 janvier 2014 ; accepté le 28 avril 2014

Disponible sur Internet le 5 août 2014



Unusual presentation of more common disease/injury

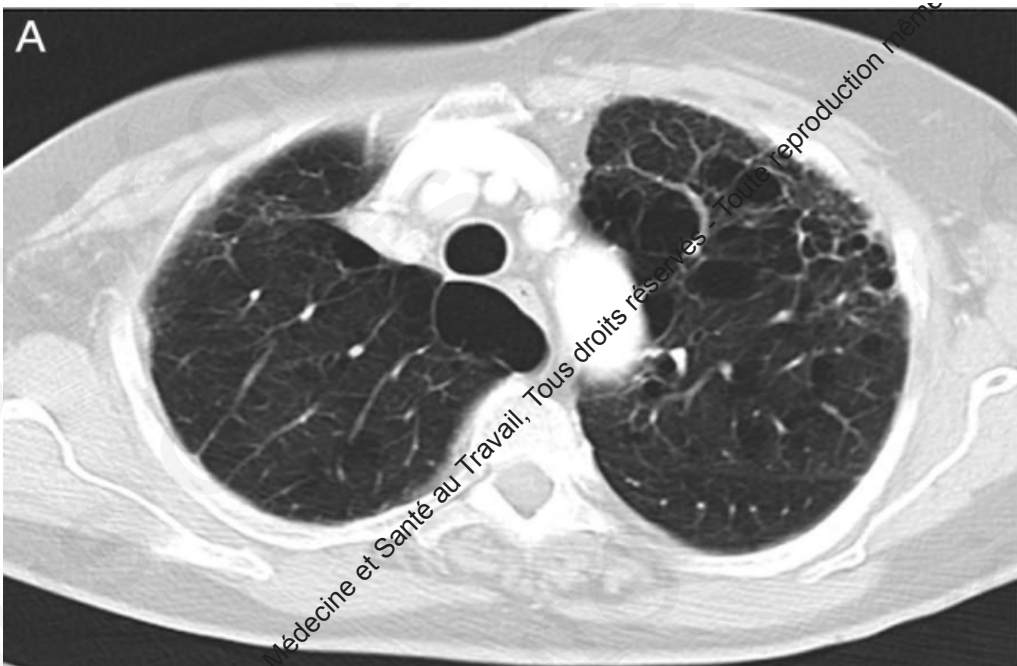
CASE REPORT

# Combined pulmonary fibrosis and emphysema in hypersensitivity pneumonitis

Thibaud Soumagne,<sup>1</sup> Héloïse Pana-Katatali,<sup>1</sup> Bruno Degano,<sup>2,3</sup>  
Jean-Charles Dalphin<sup>1,4</sup>

*BMJ Case Report Rep, online 21 Décembre 2015*

A



B



**Spirométrie  
normale,  
volumes  
normaux**

**DLCO/VA: 39%**

# Emphysema in active farmer's lung disease

Thibaud Soumagne<sup>1,2\*</sup>, Marie-Laure Chardon<sup>1,3</sup>, Gaël Dournes<sup>4,5</sup>, Lucie Laurent<sup>1,2</sup>, Bruno Degano<sup>2,6</sup>, François Laurent<sup>4,5</sup>, Jean Charles Dalphin<sup>1,7</sup>

**1** Service de Pneumologie, CHU de Besançon, Besançon, France, **2** Service de Physiologie-Explorations fonctionnelles, CHU de Besançon, Besançon, France, **3** Service de Pneumologie, CHI de Vesoul, Vesoul, France, **4** Service d'Imagerie thoracique et cardiovasculaire, CHU de Bordeaux, Pessac, France, **5** U1045, Université de Bordeaux, Centre de Recherche Cardio-Thoracique, Bordeaux, France, **6** EA 3920, Université de Franche Comté, Besançon, France, **7** UMR 6249 Chrono-environnement, Université de Franche Comté, Besançon, France

\* [thibaud\\_soumagne@live.fr](mailto:thibaud_soumagne@live.fr)

PLOS ONE <https://doi.org/10.1371/journal.pone.0178263> June 14, 2017

# Explorations fonctionnelles respiratoires

33 cas consécutifs (n=52, 2007-2015), 16 emphysèmes dont 2 SEF

	<b>PDF actifs avec emphysème n=16</b>		<b>PDF actifs sans emphysème n=17</b>	
<b>EFR</b>				
VEMS, L (z-score)	2.51 ± 0.78	(-1.69 ± 1.15)	2.86 ± 1.00	(-1.26 ± 0.92)
CPT, L (z-score)	6.74 ± 1.64	(0.40 ± 1.47)	5.60 ± 1.51	(-0.64 ± 1.44)
CRF, L (z-score)	3.87 ± 1.12	(0.89 ± 1.59)	3.14 ± 0.81	(0.04 ± 1.24)
<b>VR, L (z-score)</b>	<b>2.80 ± 0.86</b>	<b>(1.38 ± 1.99)</b>	<b>1.95 ± 0.58</b>	<b>(-0.07 ± 1.53)</b>
VR/CPT, L (z-score)	41.4 ± 7.2	(0.79 ± 1.41)	35.7 ± 8.8	(0.15 ± 1.32)
TLCO, mL/min/mmHg (z-score)	17.4 ± 7.5	(-2.43 ± 1.81)	21.0 ± 9.1	(-1.84 ± 1.43)
KCO, mL/min/mmHg/L (z-score)	2.9 ± 1.0	(-1.34 ± 1.28)	3.7 ± 1.0	(-0.54 ± 0.68)
<b>TM6</b>				
Distance, % valeur prédictée	97.2 ± 13.8		95.3 ± 14.3	NS
SpO <sub>2</sub> , delta	5.7 ± 5.2		5.6 ± 4.6	NS
<b>Borg à la fin de l'exercice</b>	<b>6.2 ± 1.9</b>		<b>4.5 ± 2.2</b>	<b>&lt; 0.05</b>

# Caractéristiques de l'exposition

	<b>PDF actifs avec emphysème</b>	<b>PDF actifs sans emphysème</b>	<b>p</b>
<b>Exposition</b>			
Toujours vécu à la ferme, n	9 / 73%	7 / 50%	NS
Exposition aux antigènes	16 / 100%	17 / 100%	NS
Encore exposés	16 / 100%	17 / 100%	NS
<b>Durée d'exposition, années</b>	<b>33.3 ± 11.1</b>	<b>23.2 ± 11.7</b>	<b>&lt; 0.05</b>
Durée médiane des symptômes, mois	41.6 ± 32.3	20.5 ± 20.2	NS
<b>Caractéristiques des fermes, n</b>			
Séparation entre la maison et l'étable	6 / 55%	6 / 43%	NS
Couloir central	8 / 64%	8 / 57%	NS
Conditionnement en vrac	3 / 18%	9 / 64%	NS
Ventilation	4 / 36%	5 / 36%	NS
<b>Système traditionnel de stockage</b>	<b>8 / 64%</b>	<b>3 / 21%</b>	<b>&lt; 0.05</b>
Modernisation de la ferme	7 / 55%	9 / 64%	NS
<b>Taille de la ferme, moyenne ± SD</b>			
Taille totale, hectares	62.5 ± 12.2	88.5 ± 41.5	NS
<b>Nombre de fourrage, hectares</b>	<b>37.2 ± 14.6</b>	<b>60.4 ± 29.4</b>	<b>&lt; 0.05</b>
Nombre de vaches	36.3 ± 13.5	47.8 ± 31.1	NS
<b>Donneur de fourrage, n</b>	<b>5 / 45%</b>	<b>5 / 36%</b>	<b>NS</b>
<b>Heures passées à la ferme chaque jour, moyenne</b>	<b>6.7 ± 2.2</b>	<b>4.6 ± 0.9</b>	<b>&lt; 0.05</b>

# Proposition de classification

## PHS de type 1

## PHS de type 2

Antigen	Microorganisms: Thermophilic Actinomycetes, Fungi (e.g., Farmer's Lung; Water Damage)	Soluble Avian Proteins (e.g., BFL)
Exposure	Usually short and massive: ~ 750,000 actinomyces spores per min	Recurrent: breed dozens of pigeons in a loft. Insidious: prolonged and low level (i.e., few birds in the domestic environment or down products)
Clinical behavior	Primarily acute/subacute: higher frequency fever and recurrent episodes More recurrent systemic symptoms (chills, body aches) Mild restrictive abnormalities that resolve	Recurrent BFL: cough and mild exertional dyspnea, low-grade fever Insidious BFL: progressive dyspnea; clubbing Restrictive pattern
Lung function tests	Airflow obstruction (usually mild) seen in chronic disease	Hypoxemia at rest or exercise common
Lung imaging studies	Chest X-ray: frequently normal HRCT: ground glass opacities, predominating in the lower lobes, fine nodular shadowing Most frequent long-term sequelae: mild emphysema often sparing the upper parts of the lung	Chest X-ray: frequently abnormal HRCT: irregular reticular opacities, traction bronchiectasis and honeycombing superimposed to subacute changes (e.g., ground-glass opacities or nodules)
BAL	Neutrophilia Lymphocytosis (> 50%) with decreased CD4/CD8 ratio (< 1)	Eosinophilia or neutrophilia Lymphocytosis (< 50%) with increased (> 1.0) CD4/CD8 ratio
Lung biopsy	Small, poorly-formed noncaseating granulomas located near bronchioles Peripheral airways: proliferative bronchiolitis obliterans, characterized by fibroblast proliferation, and an organizing intraluminal exudate that occludes bronchioles from within	Ill-formed granulomas (may be difficult to identify) Fibrotic pattern: NSIP-pattern or UIP-like pattern. Peripheral airways: constrictive bronchiolitis
Outcome	Usually resolves Chronic exposure may lead to chronic bronchitis or emphysema	Poor, often progress to fibrosis

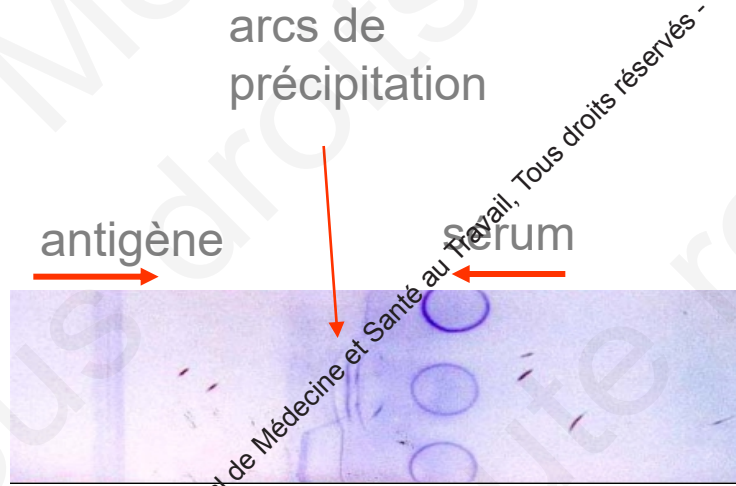
(1) Lacasse et al., *Int Arch Allergy Immunol* 2009 ; (2) Selman et al, *AJRCCM* 2012;186:314-24 ; (3) Quirce et al., *Allergy* 2016 ; (4) T Soumagne & JC Dolphin (2018): *Current and emerging techniques for the diagnosis of hypersensitivity pneumonitis, Expert Review of Respiratory Medicine*, DOI: 10.1080/17476348.2018.1473036

# Critères prédictifs significatifs de PHS

Lacasse et al. Am J Respir Crit Care Med 2003;168:952-958

Critères	Odds ratio	IC à 95%
Exposition à un antigène connu pour être pathogène	38,8	11,6-129,6
Survenue des symptômes 4-8 heures après l'exposition	7,2	1,8-28,6
Présence d'anticorps précipitants	5,3	2,7-10,4
Crépitants inspiratoires	4,5	1,8-11,7
Symptômes récidivants	3,3	1,5-7,5
Perte de poids	2,0	1,0-3,9

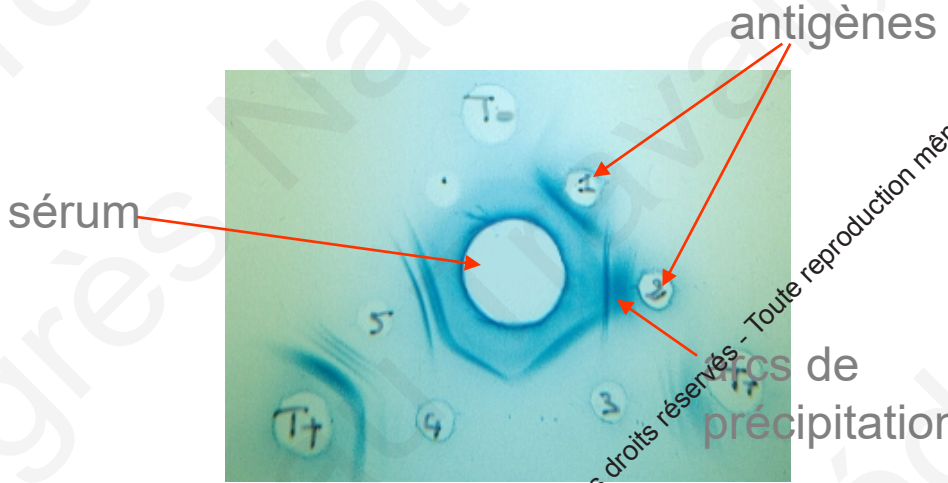
# Tests sérologiques



Electrosynthèse sur acétate de cellulose



Western Blot



Double diffusion en gel d'agarose

ELISA IgG,  
IgA

# Pneumopathie d'hypersensibilité

## Diagnostic : Détection d'anticorps dans le sang

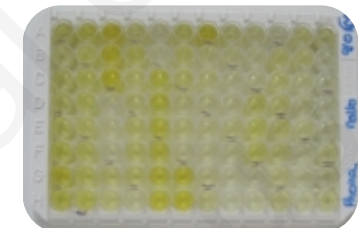
Technique de Routine : immunoprécipitation avec des **antigènes totaux** (électrosynthèse sur acétate de cellulose , double diffusion, immunoélectrophorèse)

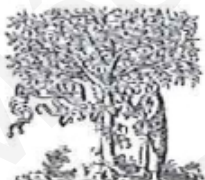
Bonne performance pour le diagnostic  
**MAIS**

Longue à mettre en œuvre, non automatisable

Manque de standardisation, difficulté d'accréditation (COFRAC)

	Réalisation	Durée	Lecture
Double diffusion	Très facile	5 jours	Visuelle
Electrosynthèse	Facile	1 jour	Visuelle
ELISA	Facile, automatisable	½ jour	Automatisée
Western blotting	Délicate	2 jours	Visuelle





ELSEVIER

Contents lists available at ScienceDirect

## Journal of Immunological Methods

journal homepage: [www.elsevier.com/locate/jim](http://www.elsevier.com/locate/jim)



Research paper

### An immunoproteomic approach revealed antigenic proteins enhancing serodiagnosis performance of bird fancier's lung

Adeline Rouzet<sup>a,\*</sup>, Gabriel Reboux<sup>a,b</sup>, Jean-Charles Dalphin<sup>a,c</sup>, Anne Gondouin<sup>c</sup>, Paul De Vuyst<sup>a</sup>, Thierry Balliau<sup>e</sup>, Laurence Millon<sup>a,b</sup>, Benoit Valot<sup>a</sup>, Sandrine Roussel<sup>a,f</sup>

<sup>a</sup> UMR CNRS 6249 Chrono-Environnement, University of Bourgogne Franche-Comté, UFR Sciences médicales et pharmaceutiques, 19 rue Ambroise Paré, 25030 Besançon, France

<sup>b</sup> Department of Parasitology-Mycology, University Hospital, 2Bd Fleming, 25030 Besançon, France

<sup>c</sup> Department of Pneumology, University Hospital, 2Bd Fleming, 25030 Besançon, France

<sup>d</sup> Department of Pneumology, ULB Erasme Hospital, route de Lennik 808, 1070 Bruxelles, Belgique

<sup>e</sup> PAPPSSO, GQE-Le Moulin, INRA, University Paris-Sud, CNRS, AgroParisTech, University Paris-Saclay, 91190 Gif sur Yvette, France

<sup>f</sup> Biomedical Department, University Hospital, 2Bd Fleming, 25030 Besançon, France

<https://dx.doi.org/10.1016/j.jim.201.07.012>

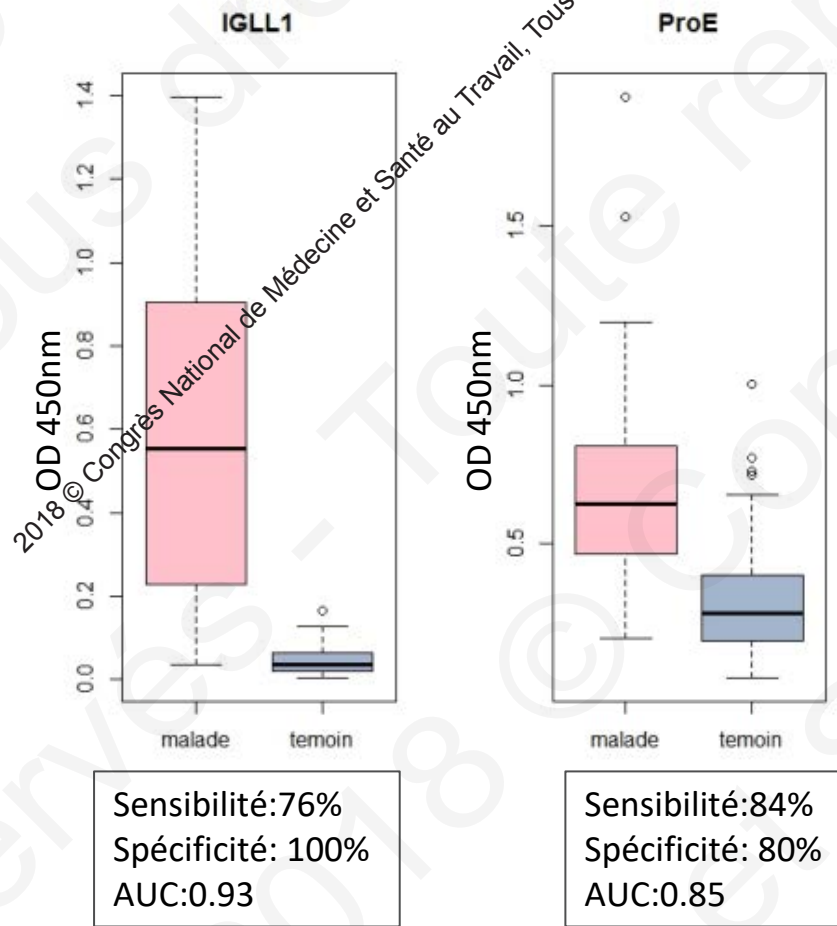


CrossMark

# Validation des protéines recombinantes

## Résultats test ELISA

Cohorte: 25 PEO , 30 TEA



## Intérêts protéines recombinantes

- Utilisation uniquement des protéines à l'origine de la réaction sérologique « protéines spécifiques PEO » pour les tests
- Bonnes performances diagnostiques
- Méthode standardisée, rapide, facilite l'accréditation de la technique

Rouzet et al. JIM, 2017, in press

Centre Hospitalier Universitaire de  
Besançon

Laboratoire de Parasitologie  
et de Mycologie

Pr Laurence MILLON

Immunodiagnostic des pneumopathies  
d'hypersensibilité  
et  
recherche d'antigènes dans  
l'environnement

Panels d'antigènes  
disponibles et sérologies à la  
carte

# SOMMAIRE

..... Les Antigènes

page 2 à 5

..... Microbiologie et sérologies  
à la carte

page 6

..... Infos pratiques

page 7 et 8

..... Demande d'examen

page 12

**Laboratoire de Mycologie**  
**CHU J. Minjoz**  
**2 boulevard Fleming**  
**25030 Besançon cedex**  
**Tel: (33)3 81 66 91 65**  
**Fax: (33)3 81 66 89 14**

**Email : [parasitologie@chu-besancon.fr](mailto:parasitologie@chu-besancon.fr)**

**Laboratoire de Parasitologie-Mycologie:**  
Dr Gabriel Reboux : tel. 03.81.66.91.65, [greboux@univ-fcomte.fr](mailto:greboux@univ-fcomte.fr)  
Pr Laurence Millon, Dr Frédéric Grenouillet, Dr Sandrine Roussel  
Techniciennes : tel. 03.81.66.82.86. Karine Humbert, Isabelle Vieille,  
Florence Skara,

**Service de Pneumologie :**

Pr Jean Charles Dalphin : tel. 03.81.66.88.02,  
[jean-charles.dalphin@univ-fcomte.fr](mailto:jean-charles.dalphin@univ-fcomte.fr)

**Service des maladies professionnelles :**

Dr Isabelle Thaon. Tel 03.81.21.80.85, [ithaon@univ-fcomte.fr](mailto:ithaon@univ-fcomte.fr)



**Merci pour votre  
attention !**

2018 © Congrès National de Médecine et Santé au Travail, Tous droits réservés - Toute reproduction même partielle et non autorisée est formellement interdite.

2018 © Congrès National de Médecine et Santé au Travail, Tous droits réservés - Toute reproduction même partielle et non autorisée est formellement interdite.